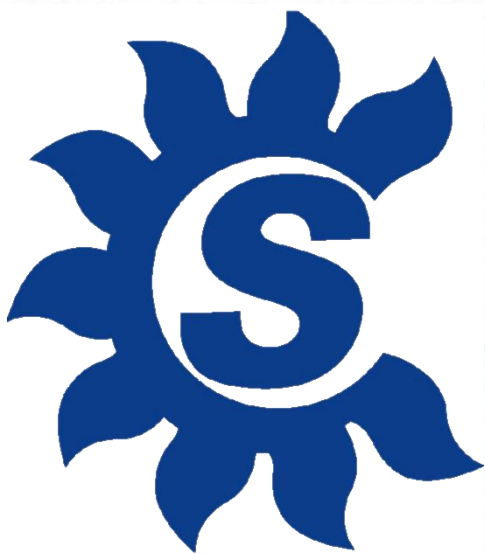


VIGILANCIA SINÓPTICA DE SUDAMÉRICA



INFORME
JUNIO 2025

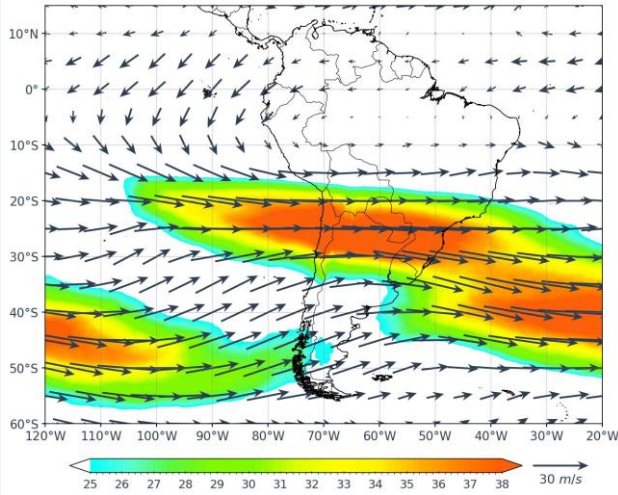


**PRÓXIMO INFORME
A ACTUALIZAR**
JULIO 2025

ANÁLISIS MENSUAL

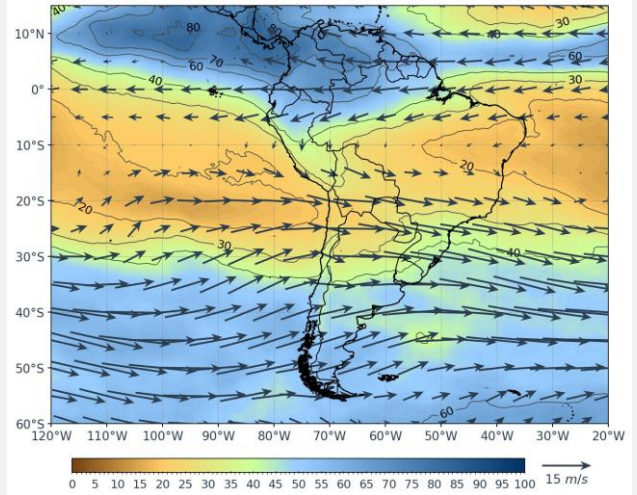
NIVELES ALTOS

Viento (m/s) – 250 hPa



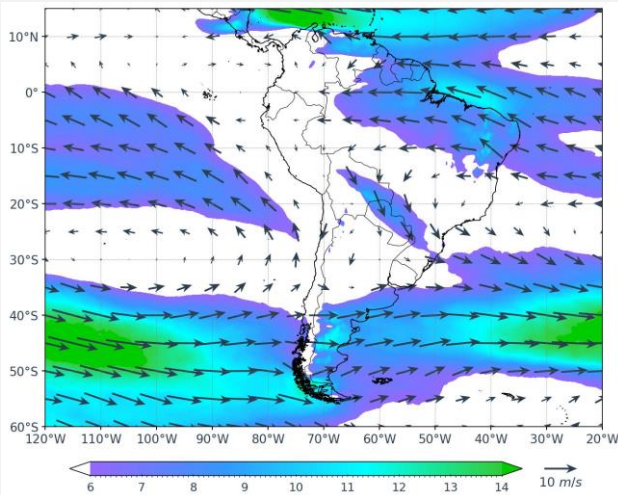
NIVELES MEDIOS

Viento (m/s) – 500 hPa/ Humedad (%)



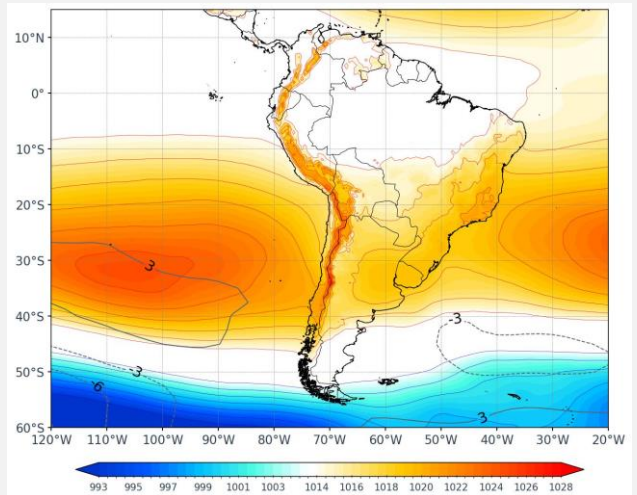
NIVELES BAJOS

Viento (m/s) – 850 hPa



SUPERFICIE

Presión reducida a nivel del mar (hPa)



Para el mes de junio, en niveles altos, se presentó con mayor frecuencia una dorsal que tuvo una configuración mayormente zonal, aportando inestabilidad localizada sobre el norte de Brasil, Venezuela, Colombia, Ecuador y norte de Perú, principalmente. Asimismo, desde los 15°S hacia latitudes mayores prevalecieron vientos del oeste con componente zonal dominante a partir de los 20°S, asociado a un onda con buena curvatura ubicada entre los 25°S a 50°S. Por otro lado, el Jet Subtropical (JS) se presentó acoplado con el ramal norte del Jet Polar (JP) principalmente desde los 100°W a 30°W, además alcanzó una velocidad promedio máxima cercana a los 38 m/s.

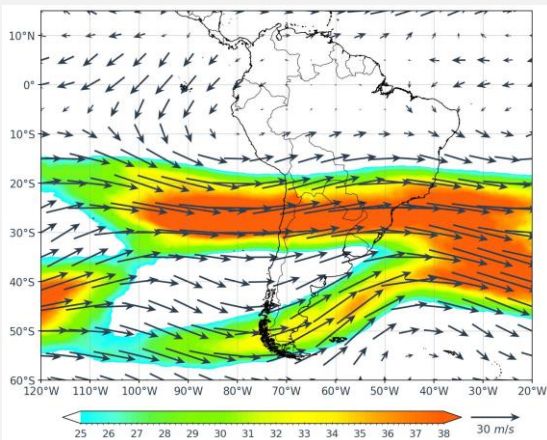
En niveles medios, predominaron flujos del oeste con componente zonal dominante desde los 20°S hacia latitudes mayores, asociados a una onda poco configurada (el cual se reflejó desde niveles altos) que presentó una vaguada sobre el norte de Argentina, Paraguay y Uruguay; por otro lado, hacia el Ecuador prevalecieron flujos de viento del este. También, predominaron patrones de circulación antihoraria, uno configurado sobre el Océano Pacífico (con núcleo no definido), alrededor de los 15°S, y otro sobre el este de Brasil (que se extendió desde el Océano Atlántico), alrededor de los 10°S. Estos sistemas favorecieron el ingreso de flujos del este con humedad cercana al 70% hacia Colombia, Venezuela y países de Centro América; por otro lado, sobre gran parte del resto del continente propiciaron el ingreso de aire seco con valores por debajo del 40% de humedad, principalmente al centro-sur de Brasil, centro-norte de Chile y Argentina, Paraguay, Bolivia y sur de Perú.

En niveles bajos, a 850 hPa, predominaron flujos de componente este sobre el norte de Sudamérica aportando humedad proveniente del Atlántico sobre países del norte y centro del continente, asimismo, se presentó el incremento en la velocidad de viento sobre Bolivia, Paraguay y sur de Brasil con valores cercanos a 11m/s, transportando condiciones de humedad e inestabilidad hacia esos sectores, reflejando la presencia del Jet de Bajos Niveles (JBN). En superficie, el Anticiclón del Pacífico Sur (APS) predominó con configuración zonal con núcleo en los 32°S y 105°W, desplazado hacia el suroeste de su posición climática, con una intensidad superior a los 1024 hPa (más intenso respecto a su promedio); asimismo, el Anticiclón del Atlántico Sur (AAS), se presentó desplazado hacia el sureste de su posición climática y con una intensidad inferior a su promedio. Por otro lado, se reflejó el paso de altas migratorias (AM) durante el mes con el incremento de presión sobre Argentina, Uruguay, Paraguay y Brasil.

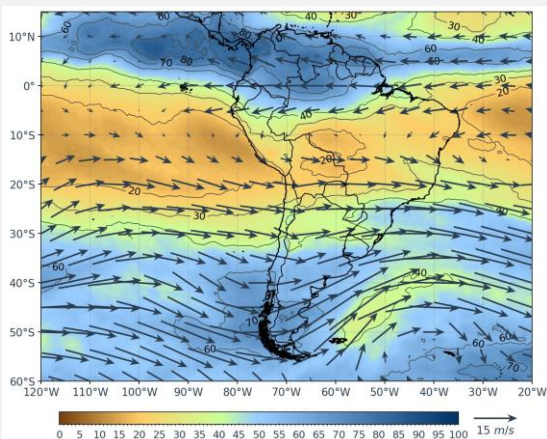
ANÁLISIS

Primera decadiaria

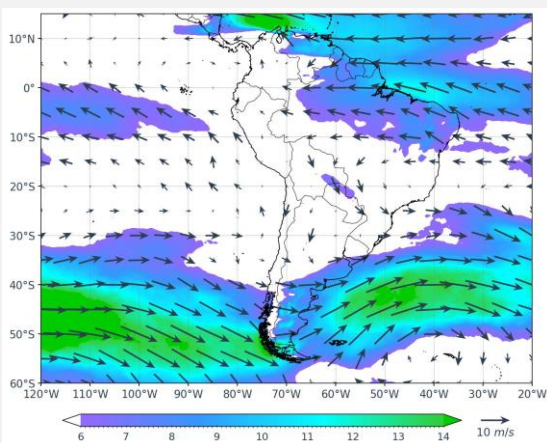
NIVELES ALTOS
Viento (m/s) – 250 hPa



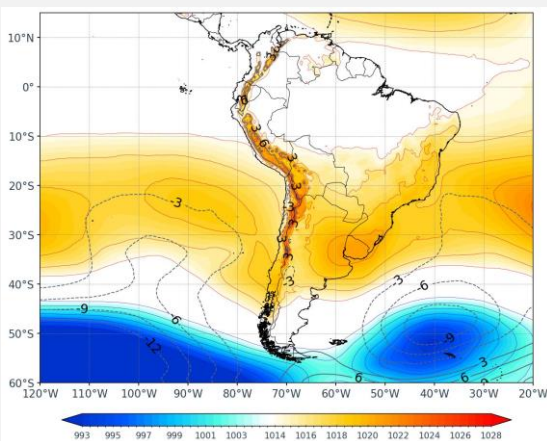
NIVELES MEDIOS
Viento (m/s) – 500 hPa/ Humedad (%)



NIVELES BAJOS
Viento (m/s) – 850 hPa



SUPERFICIE
Presión reducida a nivel del mar



En niveles altos, se presentó con mayor frecuencia una dorsal con configuración zonal, generando inestabilidad localizada hacia los países ubicados al norte del continente Sudamericano, sin embargo, también propició estabilidad en gran parte del centro de Sudamérica. Así también, predominaron flujos del oeste desde 15°S hacia latitudes mayores (con componente zonal dominante), influenciados por la presencia de una onda proveniente del oeste, que presentó una vaguada débil sobre el sureste de Brasil (acentuando la inestabilidad). Por otro lado, el JS predominó acoplado al ramal norte del JP, desde los 100°W a 30°W, además se alcanzaron velocidades promedio máximas cercanas a los 38 m/s.

En niveles medios, al norte de Sudamérica prevalecieron flujos de componente este que trasladaron humedad (entre 60-80%) hacia el norte de Brasil, Colombia, Venezuela y demás países del extremo norte del continente. Asimismo, predominaron patrones de circulación antihoraria, una alrededor de los 10°S sobre el Océano Pacífico y otra alrededor de los 15°S sobre el Océano Atlántico, asociados al ingreso de aire seco (por debajo de los 40% de humedad) sobre el centro-sur de Brasil y Chile, norte de Argentina, Paraguay, Bolivia y Perú. También, prevaleció una onda débil con una vaguada ubicada sobre el sureste de Brasil, que se reflejó desde niveles altos, favoreciendo la inestabilidad en ese sector.

En superficie, el APS presentó una configuración zonal con núcleo en los 25°S y 87°W, con valores de presión por encima de los 1020 hPa, más débil respecto a lo climático y desplazado hacia el noroeste. Asimismo, el AAS se mostró al este de su posición climática y con valores de presión por debajo de su promedio. Además prevaleció la incursión de bajas presiones hacia latitudes más bajas de lo usual. Por otro lado, se reflejó un incremento de presión sobre Argentina, Uruguay, Paraguay y Brasil, lo que refleja el paso de altas migratorias (AM). En niveles bajos, predominaron flujos de componente este sobre el noreste de Sudamérica aportando humedad sobre el norte y centro del continente. Asimismo, se mostró un ligero incremento de viento sobre Bolivia, Paraguay con velocidades cercanas a 8 m/s, transportando condiciones de inestabilidad y humedad hacia esos sectores.

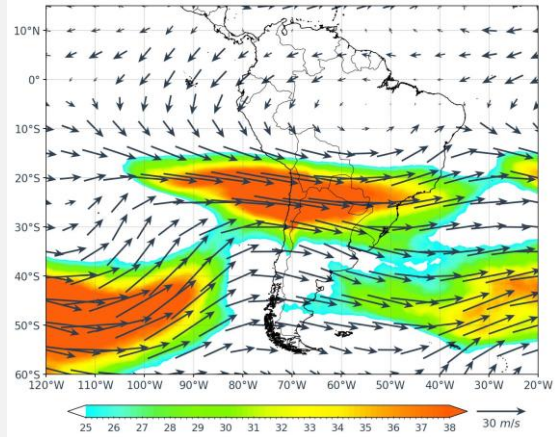
ANÁLISIS

Segunda decadiaria

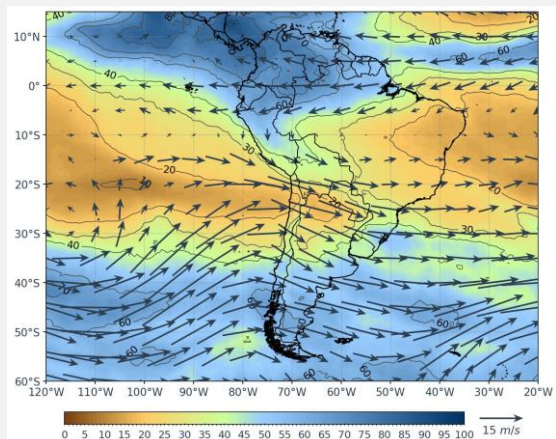
En niveles altos, prevaleció un sistema anticiclónico de buena curvatura, lo que favoreció la inestabilidad en mayor medida, especialmente sobre Brasil, Venezuela, Colombia y Ecuador. Además, prevalecieron flujos del oeste desde los 15°S hacia latitudes mayores (con componente zonal dominante), influenciados por la presencia de una onda de buena curvatura, que presentó una vaguada sobre el centro-norte de Chile, sur de Perú y Bolivia, Paraguay y norte de Argentina (acentuando la estabilidad). Por otro lado, el JS se presentó acoplado con el ramal norte del JP desde los 95°W a 45°W, presentando velocidades promedio máximas cercanas a los 38 m/s.

En niveles medios, en gran parte del norte de Sudamérica prevaleció el contenido de humedad entre 60-80%, principalmente sobre Perú, Brasil, Colombia, Venezuela, Ecuador y demás países del extremo norte, debido a la prevalencia de flujos de componente este al norte de Sudamérica. También, predominaron flujos del oeste desde los 15°S hasta latitudes mayores, asociadas a una onda que se reflejó desde niveles altos (que presentó una vaguada sobre el centro-norte de Chile y Argentina, y sur de Perú y Bolivia, acentuando la inestabilidad); asimismo, prevalecieron patrones de giro anticiclónico uno sobre el océano Pacífico y otro sobre el este de Brasil (ambos alrededor de los 10°S), estos factores favorecieron el ingreso de aire seco (menos del 40% de humedad) sobre gran parte del centro-sur del continente, principalmente sobre Brasil, Chile, Argentina, Paraguay y Bolivia.

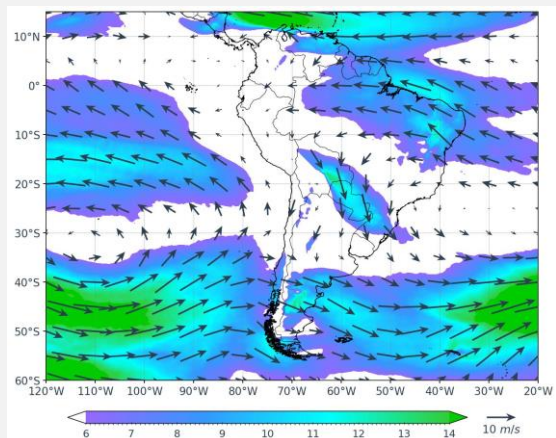
En superficie, el APS presentó una configuración cuasi meridional con un núcleo en los 35°S y 108°W, con valores de presión cercanos a los 1026 hPa, más intenso respecto al climático y desplazado hacia el suroeste. Asimismo, el AAS predominó desplazado hacia el suroeste y con una intensidad superior del promedio. Por otro lado, se reflejó el paso de altas migratorias (AM), con el incremento de presión sobre Argentina, Uruguay y Brasil. En niveles bajos, predominaron flujos de origen este sobre el noreste de Sudamérica, los que se desplazaron sobre la amazonia aportando humedad sobre la región norte y centro del continente, además, se presentó el incremento de la velocidad del viento sobre Bolivia, Paraguay y Argentina con velocidades cercanas a 13m/s, reflejando la presencia del JBN, que favoreció al transporte de humedad y a la inestabilidad.



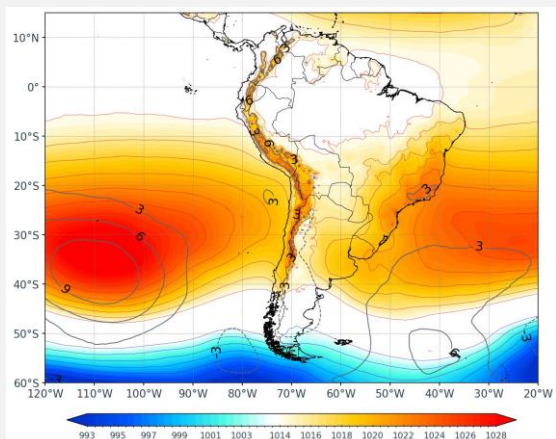
NIVELES ALTOS
Viento (m/s) – 250 hPa



NIVELES MEDIOS
Viento (m/s) – 500 hPa / Humedad (%)



NIVELES BAJOS
Viento (m/s) – 850 hPa

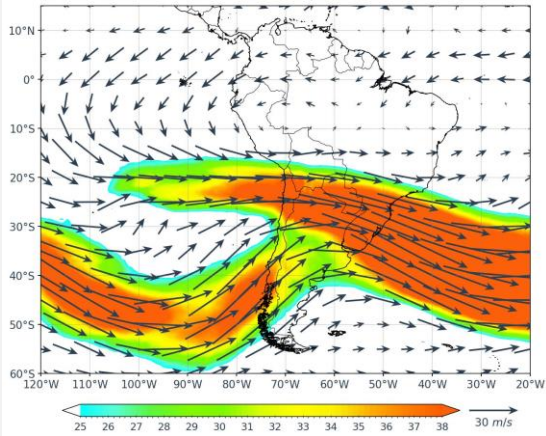


SUPERFICIE
Presión reducida a nivel del mar

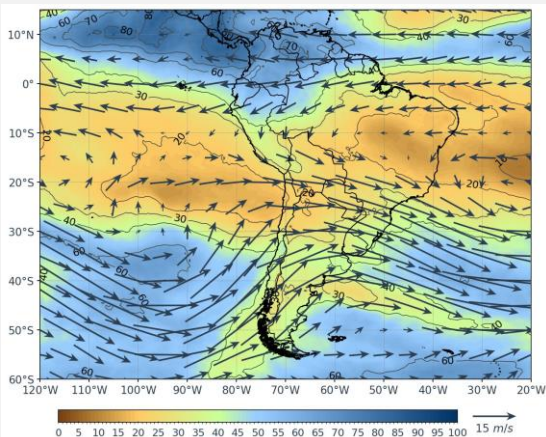
ANÁLISIS

Tercera decadiaria

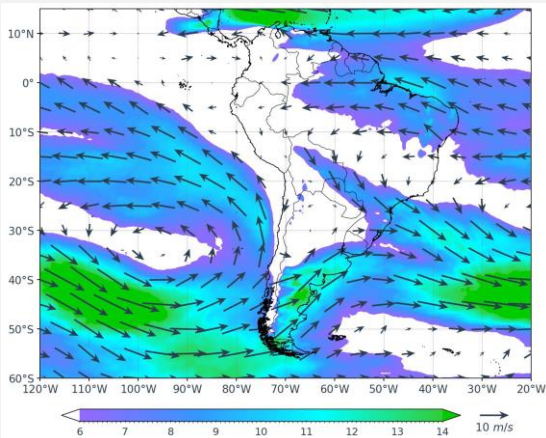
NIVELES ALTOS
Viento (m/s) – 250 hPa



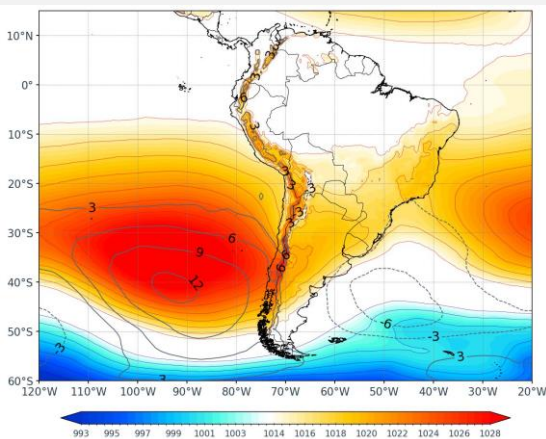
NIVELES MEDIOS
Viento (m/s) – 500 hPa/ Humedad (%)



NIVELES BAJOS
Viento (m/s) – 850 hPa



SUPERFICIE
Presión reducida a nivel del mar

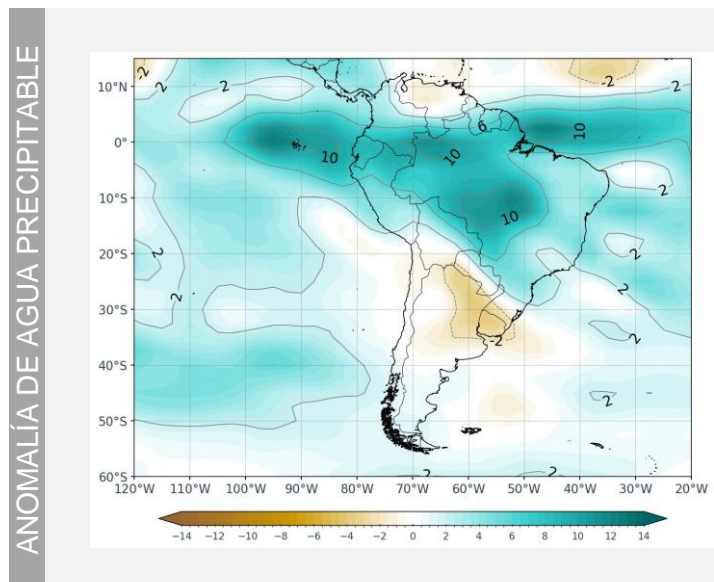
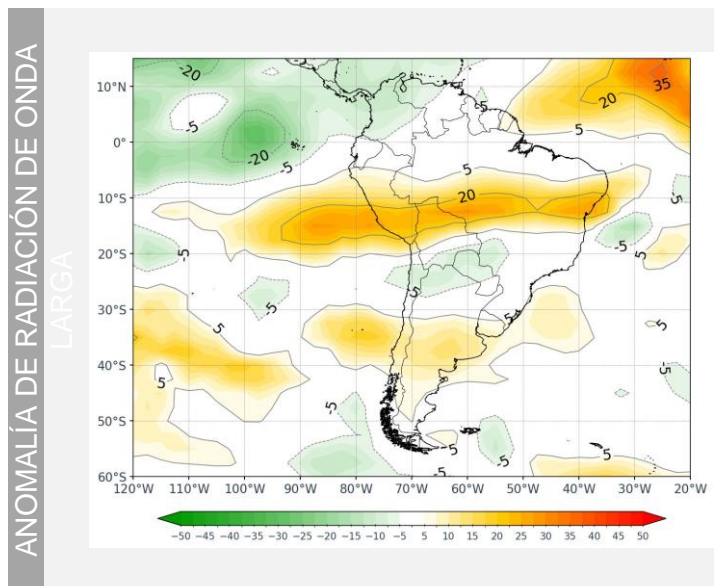


En niveles altos, prevaleció la presencia de una dorsal, que favoreció inestabilidad localizada al norte de Brasil y Perú, Colombia y Ecuador, sin embargo, también propició estabilidad en gran parte de Sudamérica. Así mismo, se tuvo el dominio de flujos del oeste, desde 15°S hacia latitudes mayores (con componente zonal dominante), asociados a la presencia de una onda de buena curvatura proveniente del oeste, que presentó una vaguada sobre el norte de Chile y Argentina, Paraguay, Uruguay y sur de Brasil (acentuando la inestabilidad). Por otro lado, el JS predominó acoplado al ramal norte del JP desde los 80°W a 20°W, presentando velocidades promedio máximas cercanas a 38 m/s.

En niveles medios, al norte de Sudamérica prevalecieron flujos del este transportando humedad (entre 60-80% de humedad) hacia Colombia y Venezuela, principalmente. Así mismo, predominaron patrones de circulación anticiclónica, una sobre el pacífico (alrededor de los 15°S) y otra sobre Brasil (que se extendió desde el Atlántico); también se presentaron flujos dominantes del oeste desde los 20°S hacia latitudes mayores, asociados a una onda de buena curvatura reflejada desde niveles altos (con una vaguada sobre el norte de Argentina, Paraguay, Uruguay y sur de Brasil, que acentuó la inestabilidad sobre esos sectores); estos patrones favorecieron el ingreso de aire seco (menor al 40% de humedad) sobre gran parte del centro-sur del continente, especialmente sobre Chile, Argentina, Paraguay, Bolivia, Perú y Brasil.

En superficie, el APS presentó una configuración mayormente meridional y núcleo en los 35°S y 95°W con valores por encima de los 1026 hPa, más intenso respecto al climático y desplazado hacia el sureste. Por otro lado, el AAS predominó desplazado al este de su posición climática y con una intensidad superior a su promedio. Asimismo, se reflejó el paso significativo de altas migratorias (AM) con el incremento de presión sobre Argentina, Paraguay, Uruguay y Brasil. En niveles bajos, predominaron flujos de origen este sobre el noreste de Sudamérica, aportando humedad sobre el norte-centro del continente, así también, se presentó un incremento de la velocidad del viento sobre Bolivia, Paraguay y sur de Brasil, alcanzando velocidades cercanas a 11m/s (reflejando la presencia del JBN), transportando condiciones de humedad e inestabilidad hacia esos sectores.

ANÁLISIS MENSUAL

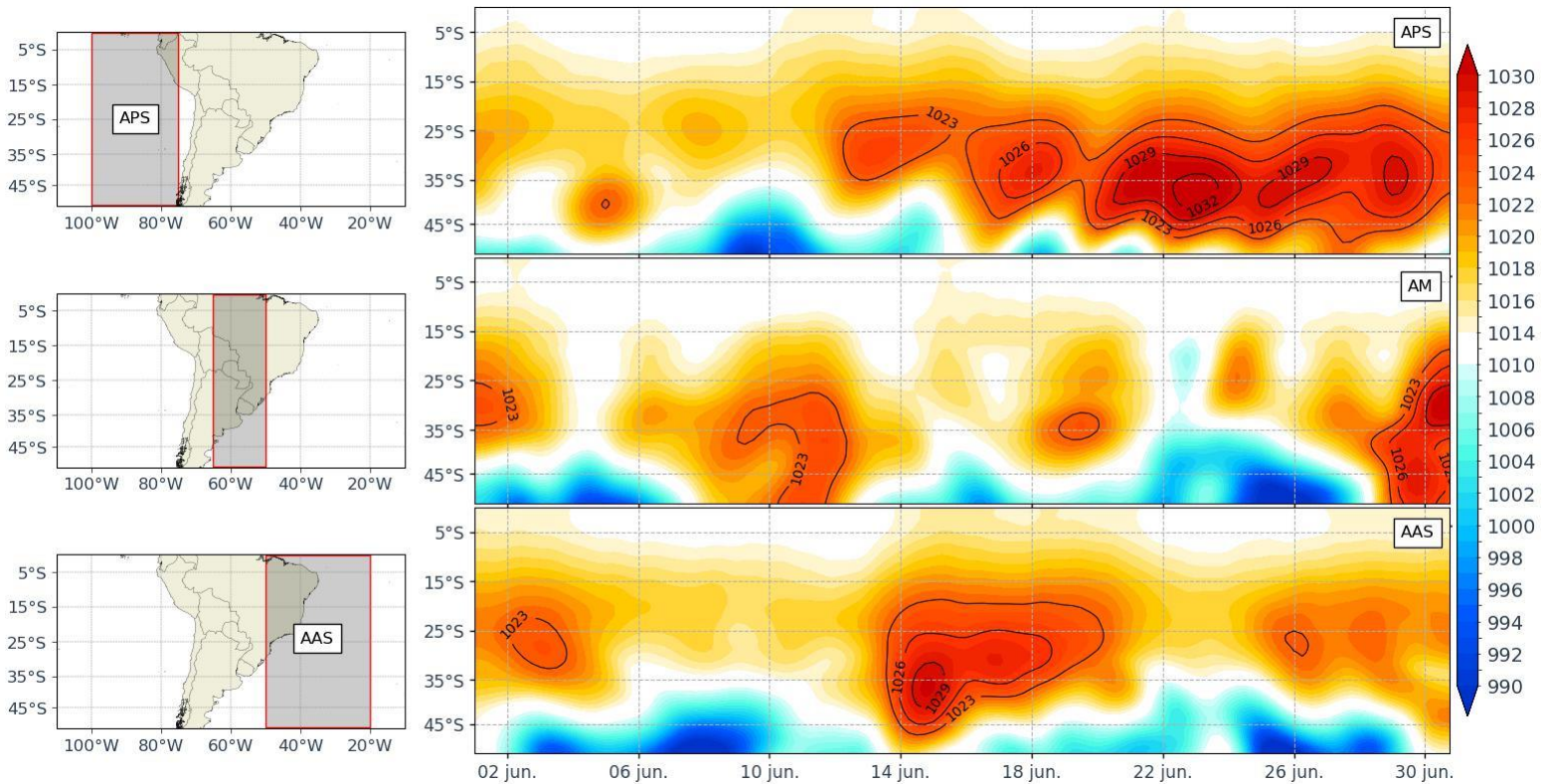


Respecto a las anomalías mensuales de radiación de onda larga, se apreciaron anomalías negativas de manera sectorizada sobre Centro América, alrededor de los 23°S y hacia latitudes polares, involucrando principalmente Venezuela, Colombia, norte de Chile y Argentina, sur de Bolivia y Paraguay, esto asociado a la presencia de mayor nubosidad en respuesta al mayor contenido de humedad respecto a lo climático. Por otro lado, se apreciaron anomalías positivas en la franja de 5°S y 22°S, en el Océano Atlántico del hemisferio norte y alrededor de los 35°S, afectando principalmente Perú, Bolivia, el centro de Brasil, Chile, Argentina y Uruguay, relacionadas a la ausencia de nubosidad en la zona, además, estas anomalías positivas podrían ser el reflejo de una disminución en las precipitaciones respecto a lo climático.

Las anomalías mensuales de agua precipitable reflejaron anomalías positivas en gran parte del área de análisis y de Sudamérica, de manera más acentuada sobre Brasil, Perú, Ecuador, Colombia, Bolivia, Paraguay y en gran parte del Pacífico y del Atlántico, los cuales estuvieron asociados a un incremento de la misma respecto a su climatología, lo que pudo haberse reflejado con mayor nubosidad y probables precipitaciones. Por otro lado, las anomalías negativas abarcaron zonas localizadas como en Venezuela, Uruguay, Argentina y Chile, indicando la poca actividad convectiva y disminución de agua precipitable respecto a su climatología (relacionado a zonas con más sequedad de lo usual).

ANÁLISIS TEMPORAL

Presión reducida al nivel del mar



Durante el mes de junio, el APS superó los 1023 hPa de manera marcada del día 12 en adelante, llegando a alcanzar incluso valores cercanos a 1032hPa alrededor del día 23, para el resto del periodo se tuvieron en su mayoría valores bajos de presión (sección APS). Por otro lado, el AAS llegó a superar los 1023 hPa durante el mes, de manera marcada para la segunda decadiaria, llegando a alcanzar valores cercanos a los 1029 hPa cerca del 15 de junio (sección AAS). Respecto a las altas migratorias (AM), se presentó una intensificación para los primeros días, cerca del 11 y 19 de junio, y hacia fines de mes (donde se llegó a superar los 1029 hPa), estos incrementos estuvieron asociados a la presencia del décimo al décimo cuarto friaje del año en la selva peruana.

**Director de Meteorología y Evaluación
Ambiental Atmosférica**

Julio Ernesto Urbiola del Carpio
jurbiola@senamhi.gob.pe

Subdirector de Predicción Meteorológica

Piero Rivas Quispe
privas@senamhi.gob.pe

Elaboración y redacción:

- Bremilda Sutizal Sánchez
bsutizal@senamhi.gob.pe

Para mayor información sobre los avisos meteorológicos, visite este link :
<http://www.senamhi.gob.pe/avisos>

Próxima publicación: AGOSTO 2025



**Servicio Nacional de
Meteorología e Hidrología del
Perú - SENAMHI**

Jr. Cahuide 785, Jesús María
Lima - Perú



Central telefónica: 614-1414

**Unidad Funcional de Atención al
Ciudadano:
470-2867**

Pronóstico: 614-1407 o 265-8798
(Atención las 24 horas vía WhastApp)

Consultas y sugerencias:

pronosticador@senamhi.gob.pe